

Отметим, что близкий круг линейных задач оптимального быстродействия рассматривается в работах [1, 2].

Отчетливо видна аналогия задачи (2) с более простой линейной задачей одновременной экономии времени и топлива на поездку [3].

$$\begin{aligned} \frac{dx_1}{dt} &= x_2, \quad \frac{dx_2}{dt} = u, \quad |u| \leq 1, \\ x_1(0) &= x_0, \quad x_2(0) = v_0, \quad x_1(T) = x_2(T) = 0, \\ \int_0^T (1 + \varepsilon |u|) dt &\rightarrow \min. \end{aligned} \quad (3)$$

B. M. Московкин

ЗАДАЧИ УПРАВЛЕНИЯ БЕРЕГОВЫМИ СИСТЕМАМИ

Рассмотрим новый, в геоморфодинамике берегов, круг задач управления береговыми динамическими системами: клиф (береговой уступ)-пляж, связанный с переводом системы из заданного начального состояния в конечное при одновременной минимизации времени перевода и общего объема подсыпаемого (изымаемого) на пляж материала.

В наиболее общем виде постановка такой задачи выглядит следующим образом

$$\begin{aligned} \frac{dW}{dt} &= af(W)H - \varphi(W) + u(t), \\ \frac{dS}{dt} &= f(W), \quad |u(t)| \leq \beta, \\ S(0) &= 0, \quad W(0) = W_0, \quad S(T) = S_1, \quad W(T) = W_{ct}, \\ \int_0^T (1 + |u|) dt &\rightarrow \min, \end{aligned} \quad (1)$$

где W — объем пляжеобразующего материала на единицу длины береговой линии, м^2 ; a — доля пляжеобразующего материала в породах, слагающих берег ($0 < a < 1$); H — высота клифа, м; $f(W)$ — скорость отступания клифа, $\text{м}/\text{год}$; $\varphi(W)$ — интенсивность изыскания пляжеобразующего материала в результате волнового воздействия, $\text{м}^2/\text{год}$; $u(t)$ — управляющий фактор, ограниченный по абсолютной величине, который соответствует подсыпке ($u > 0$) или изъятию ($u < 0$) материала, $\text{м}^2/\text{год}$; T — время перевода из состояния $(S, W) = (0, W_0)$ в состояние (S_1, W_{ct}) , год; t — время, год; W_{ct} — стационарный объем пляжеобразующего материала в условиях отсутствия управления (устойчивая стационарная точка уравнения баланса пляжеобразующего материала при $u(t) = 0$); S — расстояние на которое отступает клиф, м.

Рассматривая линейную задачу оптимального управления при $f(W) = \gamma(W_m - W)$, $0 < W < W_m$, $\varphi(W) = kW$, $\gamma, W_m, k = \text{const} > 0$ можно свести ее с помощью замен $W' = \frac{W - W_{ct}}{\beta}$, $S' = \frac{S - S_1}{\beta}$, $u' = \frac{u}{\beta}$ к канонической форме

$$\begin{aligned} \frac{dW'}{dt} &= -AW' + u', \quad A = aH\gamma + k, \\ \frac{dS'}{dt} &= \frac{\gamma}{\beta}(W_m - W_{ct} - \beta W'), \quad |u'| \leq 1, \\ S'(0) &= -\frac{S_1}{\beta}, \quad W'(0) = \frac{W_0 - W_{ct}}{\beta}, \quad W'(T) = S'(T) = 0, \\ \int_0^T (1 + \beta |u'|) dt &\rightarrow \min. \end{aligned} \quad (2)$$

В работе [3] намечен путь решения таких задач, состоящий в: 1. построении функции Лагранжа; 2. построении и решении уравнения Эйлера для лагранжиана; 3. использовании принципа максимума; 4. проверке условия трансверсальности по пространственной переменной для терминанты; 5. проверке условия стационарности по T . Все эти условия являются необходимыми для существования решения вышеуказанных задач. Одной из особенностей их решения является наличие двух точек переключения при следующих режимах управления: $u = -1$; 1 ; 0 . Для задачи (2) все необходимые условия существования ее решения выполняются, но процедура получения окончательного решения достаточно сложна. Не останавливаясь на ней рассмотрим одну из постановок задачи в упрощенном варианте, решаемой без использования методов теории оптимального управления (такая постановка задачи имеет наибольшее практическое значение)

$$\begin{aligned} \frac{dW}{dt} &= aHf(W) - \varphi(W) + u, \quad |u| \leq \beta, \\ W(0) &= W_0, \quad W(T) = W_{ct}, \\ \int_0^T (1 + |u|) dt &\rightarrow \min. \end{aligned} \quad (4)$$

Задачу (4) будем рассматривать в постоянном по интенсивности классе управляющих воздействий ($u = \text{const}$ — параметр, не зависящий от времени). Путь решения этой задачи следующий. Из уравнения (4) находится время перевода из состояния W_0 в состояние W_{ct}

$$T = F(u) = \int_{W_0}^{W_{ct}} \frac{dW}{aHf(W) - \varphi(W) + u}, \quad (5)$$

и определяется минимум функционала

$$\Phi(u) = \int_0^T (1 + |u|) dt = (1 + |u|)F(u), \quad (6)$$

(который представляет собой функцию от параметра u) с учетом ограничения $|u| \leq \beta$ обычными методами математического анализа.

Ниже рассмотрим конкретную линейную задачу в условиях подсыпки материала (наращивания пляжа), когда $u > 0$, $W_0 < W_{ct}$. В этом случае, при ранее указанных линейных функциях $f(W)$ и $\varphi(W)$ выражение (6) примет вид

$$\begin{aligned} \Phi(u) &= \frac{(1+u)}{A} I_n \left[1 + \frac{A(W_{ct} - W_0)}{u} \right], \\ A &= aH\gamma + k, \quad W_{ct} = \left(\frac{A-k}{A} \right) W_m. \end{aligned} \quad (7)$$

Экстремумы этой функции находятся из решения следующего трансцендентного уравнения

$$I_n \left(1 + \frac{B}{u} \right) = \frac{B(1+u)}{u(B+u)}, \quad (8)$$

где $B = A(W_{ct} - W_0)$.

Исследуем выражение (7) как функцию, зависящую от параметра B при $A = \text{const}$. Рассмотрим функцию $\Phi^*(u, B) = A\Phi(u, B)$ экстремумы которой находятся из уравнения (8). Это уравнение с помощью замены $\xi = \frac{B}{u}$ приведем к виду

$$I_n \left(1 + \xi \right) = \frac{\xi}{B} \left(\frac{B+\xi}{1+\xi} \right). \quad (9)$$

Уравнение (9) имеет нулевое тривиальное решение ($\xi = 0$), соответствующее $u = \infty$. Легко показать, что $\lim_{u \rightarrow \infty} \Phi^*(u, B) = \lim_{\xi \rightarrow 0} \Phi^*(\xi, B) = B$. Таким

образом, функцию $\Phi^*(u, B)$ имеет вертикальную ($u=0$) и горизонтальную ($\Phi^*(u, B)=B$) асимптоты. Определим условия существования локального минимума и его вырождения. Для этого используем методы теории особенностей гладких функций (теории катастроф). Функция $\Phi^*(\xi, B)$ в окрестности $\xi=0$ согласно лемме Морса [4] имеет вид

$$\Phi^*(\xi, B) \approx \left(1 + \frac{B}{\xi} \right) \left(\xi - \frac{\xi^2}{2} + \frac{\xi^3}{3} \right) = \frac{\xi^3}{3} + \xi^2 \left(\frac{B}{3} - \frac{1}{2} \right) + \xi \left(1 - \frac{B}{2} \right). \quad (10)$$

Экстремумы этой кубической формы определяются из условия

$$\frac{d\Phi^*(\xi, B)}{d\xi} = 0;$$

$$\xi_{1,2} = -\left(\frac{B}{3} - \frac{1}{2}\right) \pm \sqrt{\left(\frac{B}{3} - \frac{1}{2}\right)^2 - \left(1 - \frac{B}{2}\right)}. \quad (11)$$

Условие вырождения положительного корня $\xi_1 > 0$ (слияние его с нулевым корнем уравнения (9)) имеет вид $1 - \frac{B}{2} = 0$ ($\xi_1 = 0$ в выражении (11)). Таким образом, получено критическое значение параметра $B = B_{kp} = 2$ при котором локальный минимум функции $\Phi^*(u, B)$ исчезает при $u = \infty$ ($\xi = 0$). То же самое может быть показано следующим образом. Кубический трехчлен (10) приводится к канонической катастрофе складки [4] ($U(\xi) = \frac{\xi^3}{3} + u\xi$, $u \sim \left(1 - \frac{B}{2}\right)$, где \sim — знак пропорциональности) для которой $\frac{dU}{d\xi} = \xi^2 + u$. Откуда следует, что слияние двух особых точек происходит при $u = 0$, что эквивалентно $1 - \frac{B}{2} = 0$ ($B_{kp} = 2$). Отметим, что получение этого критического условия элементарными методами исследования функций требует гораздо больших усилий.

Вышеизложенное иллюстрируется численными расчетами функции $\Phi^*(u, B)$ при $A = 0,2 \text{ год}^{-1}$ (рис. 1). При $B > 2$ исследуемая функция имеет локальный минимум.

Проделаны численные эксперименты по определению минимума функции

$$\Phi(u, B) = \left(\frac{1+u}{A} \right) \ln \left(1 + \frac{B}{u} \right), \quad (10)$$

при $A = \frac{B+kW_m}{W_m-W_0}$, $3B \leq 20 \text{ м}^2/\text{год}$, $30 \leq W_m \leq 50 \text{ м}^2$, $0,05 \leq k \leq 0,2 \text{ год}^{-1}$,

$0 \leq W_0 \leq 45 \text{ м}^2$ (реально возможные значения параметров для условий рыхлых глинистых пород, слагающих берег, и песчаных пляжей). Расчеты показали, что функция $u_{min}(B)$ почти не зависит от изменений параметров W_m , W_0 , k , в отличие от функции $\Phi_{min}(B) = \Phi(u_{min}(B), B)$. С учетом критериального значения $B = 2$ была получена конкретная

типерболическая регрессионная зависимость при единичном корреляционном отношении

$$u_{min}(B) = 0,2455 + \frac{1,425}{B-2}. \quad (13)$$

Рассмотрим конкретный пример. Аппроксимация данных натурных измерений Ю. Д. Шуйского [5] для рыхлых глинистых пород в районе

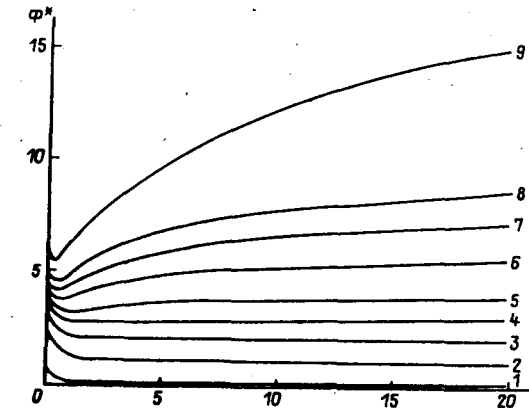


Рис. 1. Функция при различных значениях B . Соответствие номеров кривых со значениями B следующие: 1) 0,1; 2-1; 3-2; 4-3; 5-4; 6-6; 7-8; 8-10; 9-20.

мыса Бурнас (Черное море, СССР) приводит к следующим параметрам функции $f(W) : \gamma = \frac{1}{3} (\text{м год})^{-1}$, $W_m = 30 \text{ м}^2$; остальные значения параметров для этого района равняются [1, 2, 6]: $a = 0,02$; $k = 0,1 \text{ год}^{-1}$; $H = 1/50 \text{ м}$. В этом случае имеем следующий диапазон изменения параметра A : $0,107 \leq A \leq 0,433$.

С учетом выражения $B = A(W_m W_0) - kW_m$ получим интервал изменения B : $0 \leq B \leq 9$. Например при $B = 9 \text{ м}^2/\text{год}$ по формуле (13) получим $u_{min}(9) = 0,459 \text{ м}^2/\text{год}$.

Решение исходной поставленной задачи для данного примера будет выглядеть следующим образом. Пусть, например, $u \leq \beta = 1 \text{ м}^2/\text{год}$, тогда при $0 < B < 2$, когда $\Phi(u, B)$ монотонно убывает до нуля при увеличении u , в качестве оптимального искомого значения u следует взять $u_{opt} = \beta = 1 \text{ м}^2/\text{год}$ и для него найти оптимальное время по формуле (5). Если $B > 2$, тогда следует выбрать минимальное из чисел β и u_{min} (рассчитанное по формуле (13)), то есть $u_{opt} = \min\{\beta, u_{min}\}$. Например, при $B = 3$ получим $u_{opt} = \min\{1, 1,65\} = 1$, при $B = 9$ — $u_{opt} = \min\{1, 0,459\} = 0,459$. Соответствующее оптимальное время (T) и объем подсыпки ($W_{под}$) находится по формуле (5) и $W_{под} = T \cdot u_{opt}$.

Рассмотрена аналогичная нелинейная задача при $f(W) = \frac{b}{W}$, $\Phi(W) = k$ для которой получена функция $T = F(u)$.

$$F(u) = C - \frac{1}{2k} \ln \left[\left| kW_{ct}^2 - uW_{ct} - aHb \right| \left| \frac{2kW_{ct} - u - \sqrt{u^2 + 4kaHb}}{2kW_{ct} - u + \sqrt{u^2 + 4kaHb}} \right|^m \right],$$

$$C = \frac{1}{2k} \ln \left[\left| kW_0^2 - uW_0 - aHb \right| \left| \frac{2kW_0 - u - \sqrt{u^2 + 4kaHb}}{2kW_0 - u + \sqrt{u^2 + 4kaHb}} \right|^m \right], \quad (14)$$

где $W_{ct} = \sqrt{\frac{aHb}{k}}$, $m = \frac{u}{\sqrt{u^2 + 4kaHb}}$.

Проделана большая серия численных экспериментов по расчету

функций $F(u)$, $\Phi(u)$ при $b=40$ м³/год [6], $0,05 \leq k \leq 0,2$ год⁻¹, $1 \leq H \leq 100$ м, $1 \leq u \leq 50$ м²/год, $a=0,02$.

Вырождение минимума функции $\Phi(u)$ было отмечено в интервале $2 \leq u \leq 3$ м²/год. Теоретическое условие вырождения минимума функции $\Phi(u)$, в зависимости от ее параметров, может быть получено аналогично предыдущему рассмотрению.

При наличии локального минимума функции $\Phi(u)$ решение поставленной задачи (4) будет иметь вид $u_{\text{opt}} = \min\{\beta, u_{\text{min}}\}$.

Таким образом, разработана конкретная методология для получения оптимальной интенсивности подсыпки материала с целью одновременной минимизации времени и общего объема подсыпаемого материала. Такая же методология может найти практическое применение при проектировании искусственных пляжей в условиях полностью укрепленных берегов ($f(W)=0$), что актуально для условий курортных регионов Черного моря.

ЛИТЕРАТУРА

1. *Московкин В. М., Есин Н. В.* Оптимальное управление абразионным процессом.—ДАН, 1985, том 284, № 3, С. 731—734.
2. *Московкин В. М., Есин Н. В.* К теории оптимального управления береговыми процессами.—Водные ресурсы, 1986, № 4, С. 172—175.
3. *Алексеев В. М., Галеев Э. М., Тихомиров В. М.* Сборник задач по оптимизации. Теория. Примеры. Задачи.—М.: Наука, 1984.—288 с.
4. *Постон Г., Стоарт И.* Теория катастроф и ее приложения.—М.: Мир, 1980.—607 с.
5. *Шудский Ю. Д., Шевченко В. Я.* Динамика берегов Черного моря в районе мыса Бурнас.—Геоморфология, 1975, № 4, С. 98—104.
6. *Есин Н. В., Савин М. Т., Жиллев А. П.* Абразионный процесс на морском берегу.—Л.: Гидрометеонзатдат, 1980.—200 с.